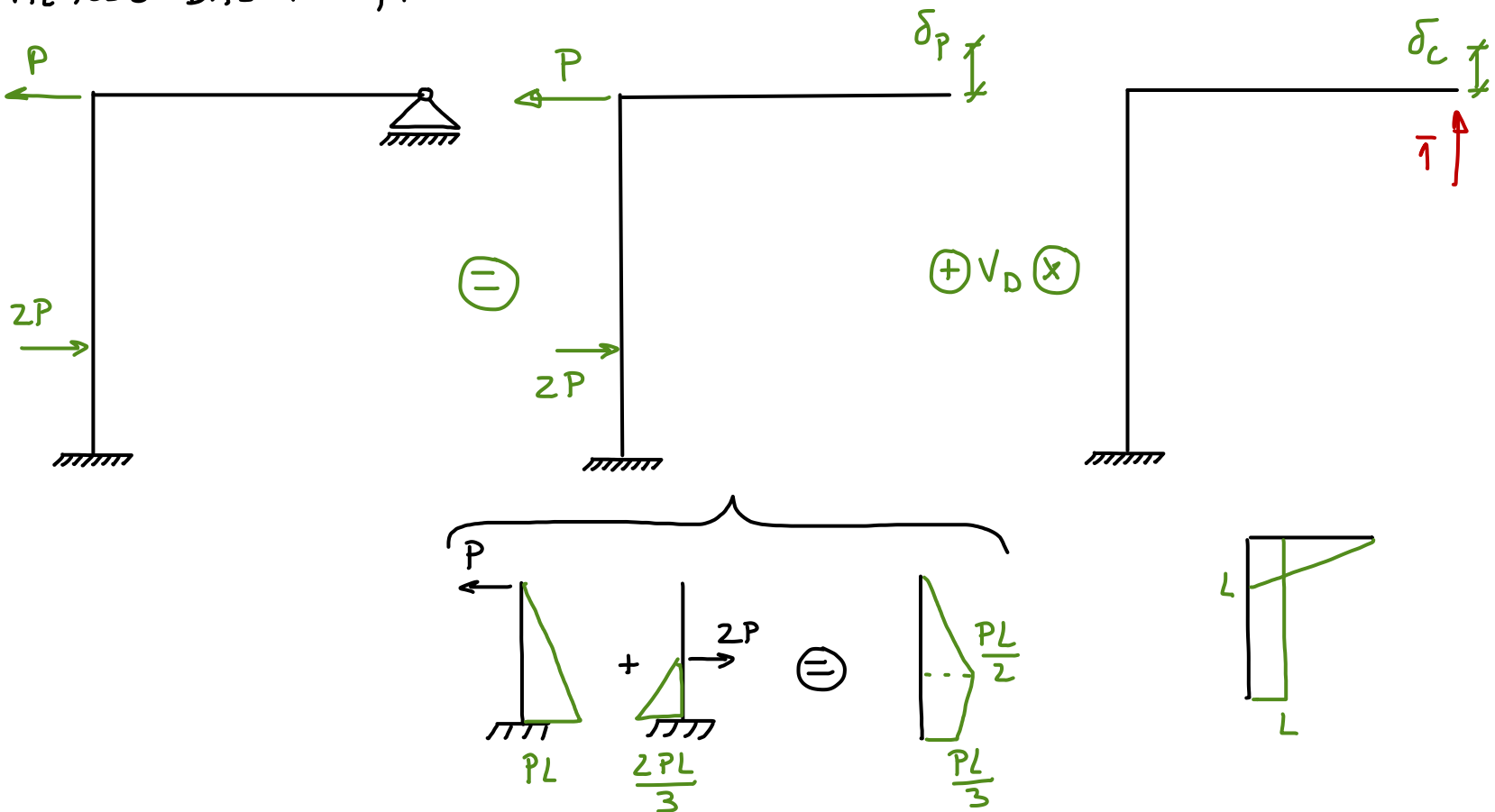


a) Diagrama elástico de momento fletor:

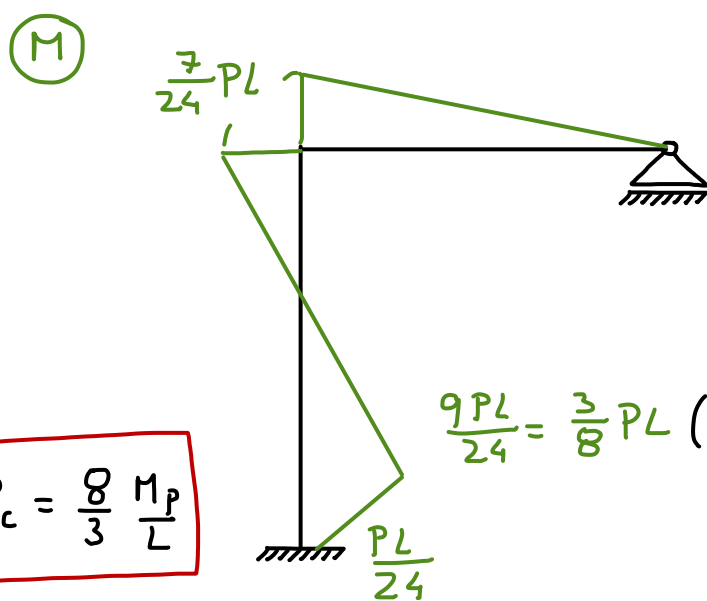
MÉTODO DAS FORÇAS



$$\delta_P = \sum \int \frac{M \bar{M}}{EI} dn = \int_L \left(\frac{P}{PL} + \frac{2PL}{3} \right) dn = \frac{1}{2} PL^3 - \frac{1}{2} \frac{L}{3} \frac{2PL}{3} L = \frac{7}{18} PL^3$$

$$\delta_C = \sum \int \frac{\bar{M} \bar{M}}{EI} dn = \int \left(\frac{1}{L} \right)^2 + \left(\frac{2}{3} \right)^2 dn = L^3 + \frac{1}{3} L^3 = \frac{4}{3} L^3$$

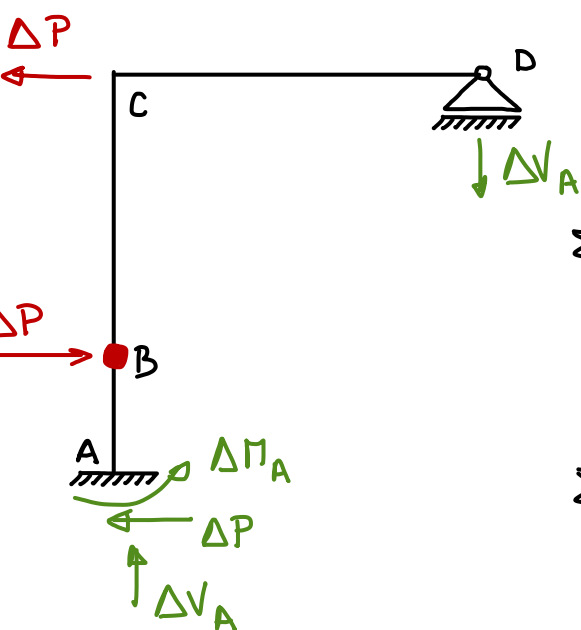
$$\delta_P + V_D \delta_C = 0 \Rightarrow V_D = -\frac{7}{24} P (\downarrow)$$



$$\frac{3}{8} P_c L = M_p \Rightarrow P_c = \frac{8}{3} \frac{M_p}{L}$$

$\frac{9PL}{24} = \frac{3}{8} PL$ ($\eta_{\text{máx}} \Rightarrow$ 1ª seção a plastificare)

Análise incremental:



$$P_{\text{TOTAL}} = P_c + \Delta P$$

$$\sum F_h = 0 \Rightarrow \Delta H_A = \Delta P (\leftarrow)$$

$$\sum M_B = 0 \Rightarrow \Delta M_A = \frac{L}{3} \Delta P$$

$$\sum M_B = 0 \Rightarrow L \Delta V_A = \frac{2}{3} L \Delta P \Rightarrow \Delta V_A = \frac{2}{3} \Delta P$$

↓

$$\Delta M_C = - \frac{2}{3} \Delta P \cdot L$$

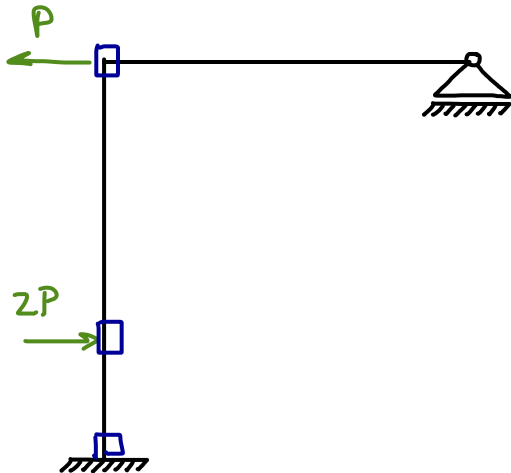
$$M_C = - \frac{7}{24} \frac{8}{3} M_p - \frac{2}{3} \Delta P \cdot L = - \frac{7}{9} M_p - \frac{2}{3} \Delta P \cdot L$$

$$M_A = \frac{1}{24} \frac{8}{3} M_p - \frac{L}{3} \Delta P = \frac{M_p}{L} - \frac{1}{3} \Delta P \cdot L$$

CONCLUSÃO: a seção C plastifica primeiro do que a seção A

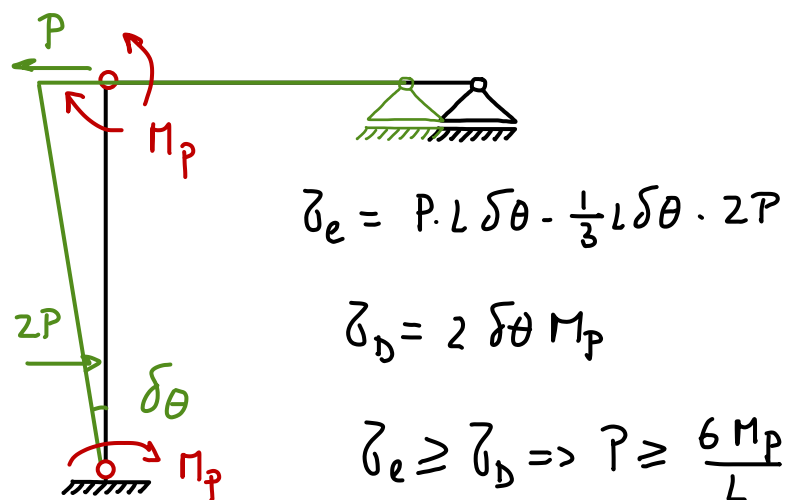
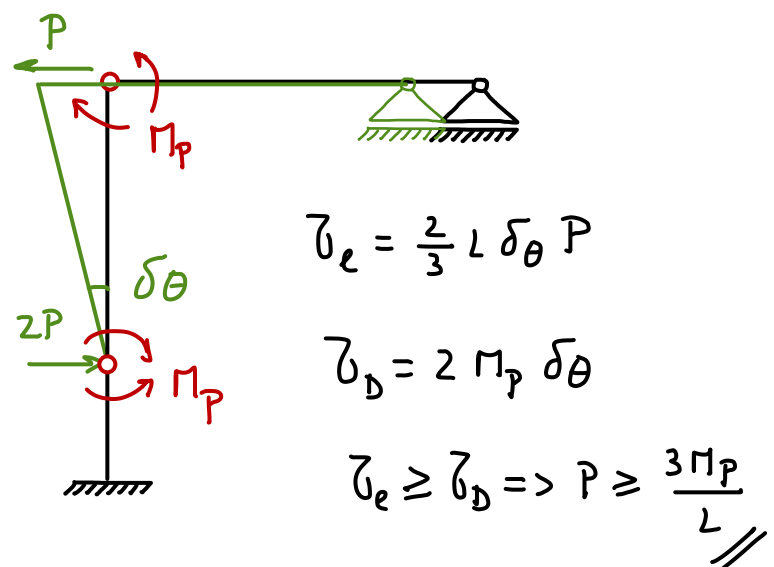
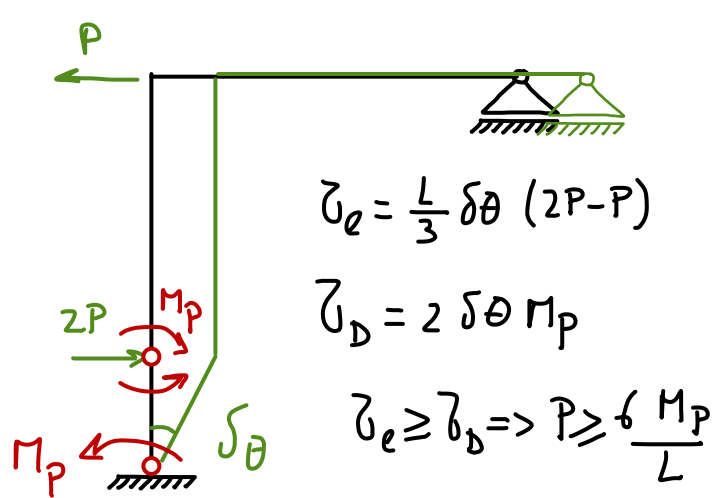
$$-\frac{7}{9} M_p - \frac{2}{3} \Delta P \cdot L = -M_p \Rightarrow \Delta P = \frac{M_p}{3L} \Rightarrow P_M = \left(\frac{8}{3} + \frac{1}{3} \right) \frac{M_p}{L} = 3 \frac{M_p}{L}$$

b) determinação carga colapso com teoremas A.L.



□ Seção crítica

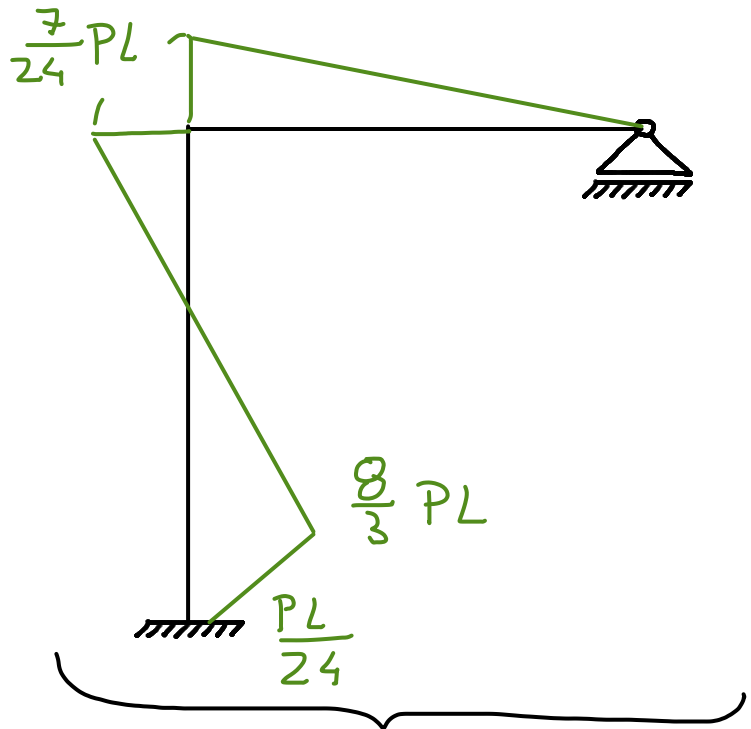
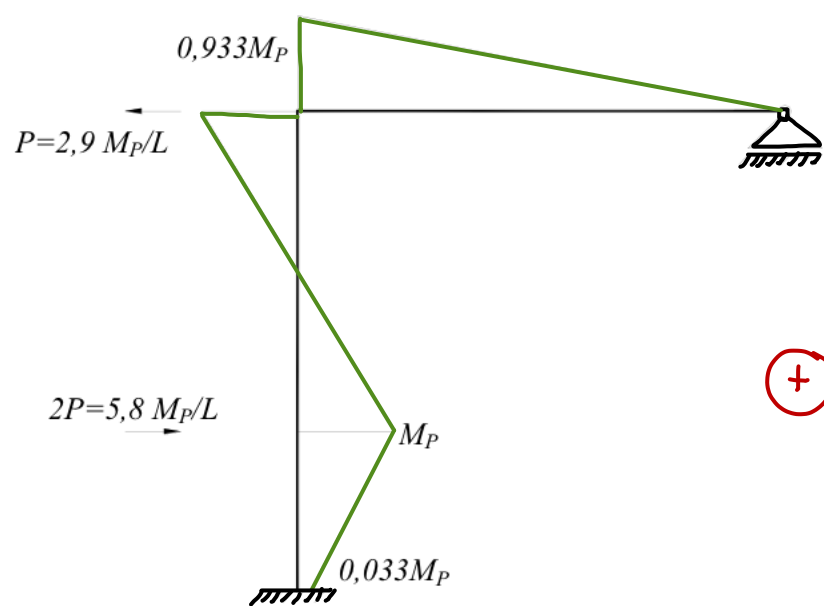
$$MR. \text{ mecanismos} = C_2^3 = \frac{3!}{2!(3-2)!} = 3$$



NOTA: Não era necessário verificar este mecanismo porque não tem nódulo em β (a 1ª seção a plastificar)

c) descarga:

⚠ a descarga é sempre realizada em regime elástico



Esforços Elásticos com

$$P = -\frac{2,9 \text{ MP}}{L}$$

